

LEGENDE



LEGENDE

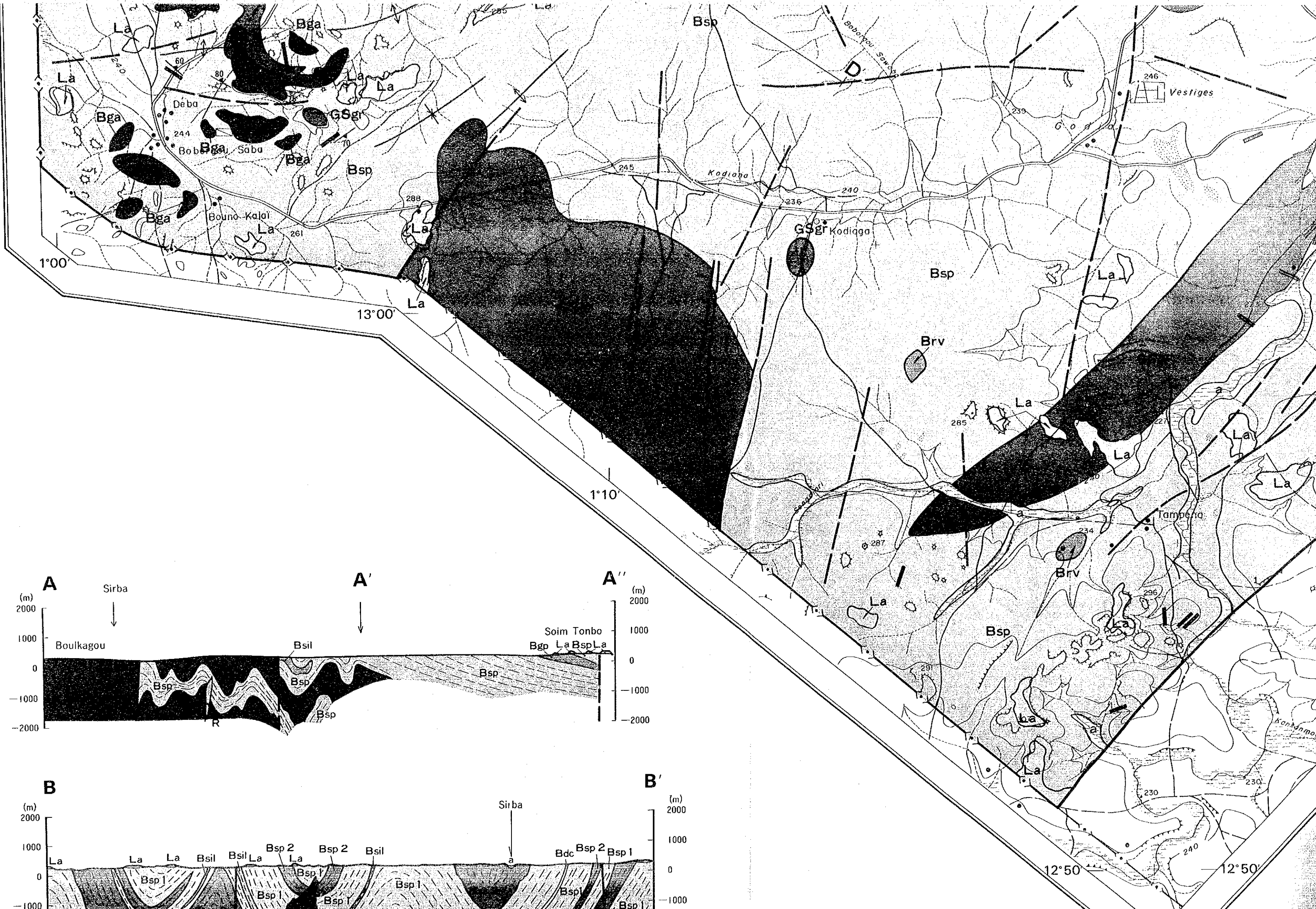
- | | | |
|----------------------------------|------|--|
| Quaternaire | a | Alluvions |
| Tertiaire-Quaternaire | La | Latérite |
| GRUPE BIRIMIEN | | |
| | Bdc | Dacite |
| | Bsl | Basalte |
| | Bsl | Roche silicifiée |
| | Bsp | Schistes argileux |
| | Bsp1 | Schistes gréseux |
| | Bsp | Roches sédimentaires ou pyroclastiques Non déterminées |
| Précambrien | Bgp | Grès ou pyroclastiques |
| | Bd | Andésite |
| | | Schiste vert |
| | | Roche verte (gabbro ou amphibolite) |
| | | Amphibolite |
| | Brv | Roche verte (indéterminées) |
| GRANITES POST-TECTONIQUES | | |
| | | Granites à biotite et amphibole |
| | | Granodiorite à amphibole et biotite |
| ROCHES INTRUSIVES | | |
| | | Dolérite |
| | R | Rhyolite |
| GRANITES SYNCINEMATIQUES | | |
| | | Granite à biotite et amphibole |

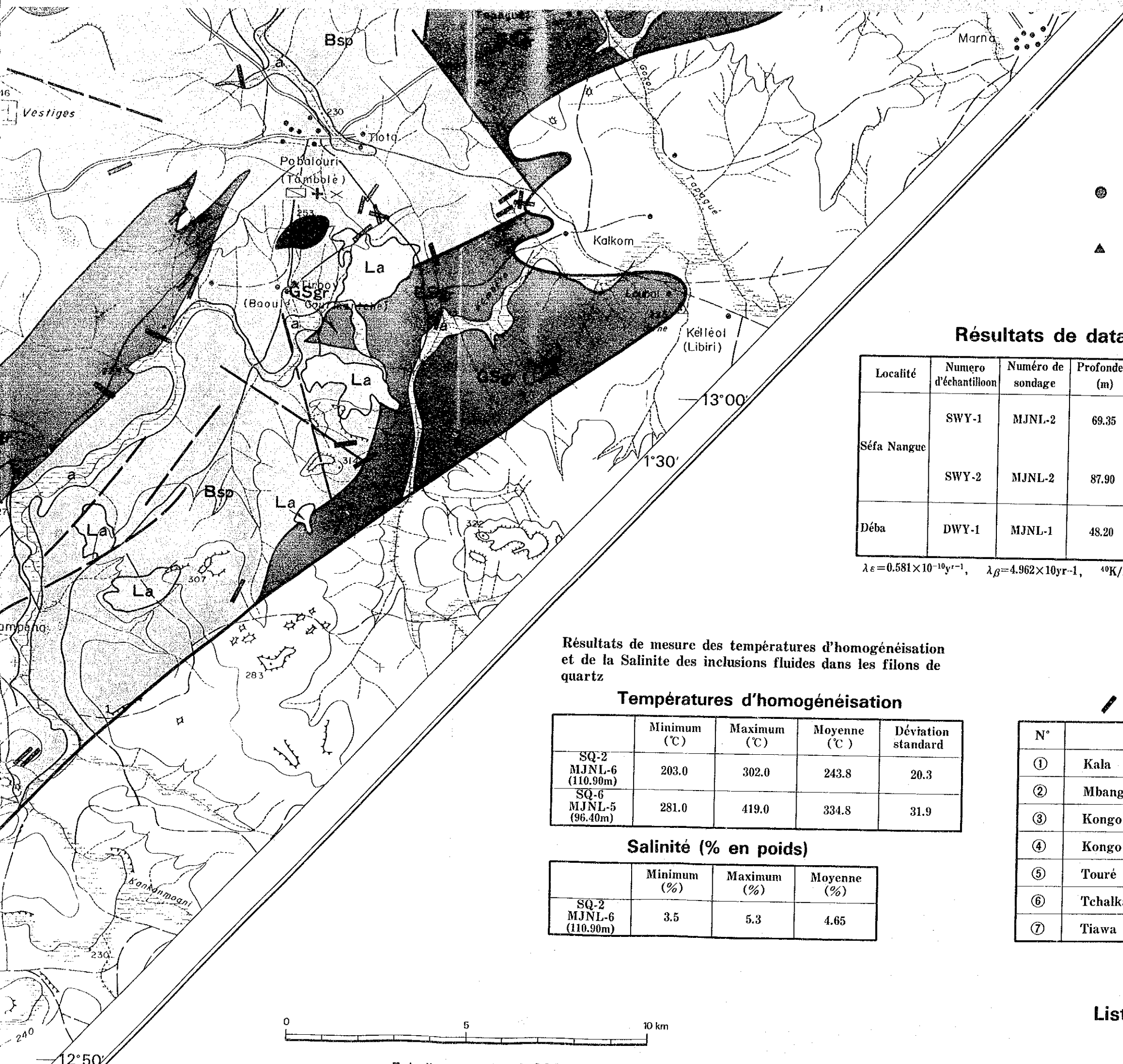
SIGNES CONVENTIONNELS

- Failles (Estimation par images Satellite et photos aériennes)
- Axe anticlinal
- Axe synclinal
- Direction de la schistosité et pendage
- Direction de la schistosité (pendage vertical)
- Direction et pendage des couches
- La ligne des coupes

● Points d'échantillonnage pour la datation (la méthode de K-Ar)

▲ Points d'échantillonnage pour l'essai des inclusions de fluid (mesure de la température d'homogénéisation et mesure de la salinité)





● Points d'échantillonnage pour la datation (la méthode de K-Ar)

▲ Points d'échantillonnage pour l'essai des inclusions de fluid (mesure de la température d'homogénéisation et mesure de la salinité)

Résultats de datation K-Ar : carottes des sondages

Localité	Numero d'échantillon	Numero de sondage	Profondeur (m)	Nom de roche	Matière analysée	Age isotopique (Ma)	40/Ar (scc/gm×10 ³)	% 40/Ar	% K
Séfa Nangue	SWY-1	MJNL-2	69.35	spilite	toute la roche	1508. ± 75	1.36	96.4	0.15
							1.36	92.5	0.14
	SWY-2	MJNL-2	87.90	Plagiorhyolite	toute la roche	1985. ± 99	12.1	99.5	0.86
							12.2	99.0	0.86
Déba	DWY-1	MJNL-1	48.20	plagiorhyolite	toute la roche	1964. ± 98	6.75	98.6	0.48
							6.51	98.6	0.48
							6.65	99.0	

$\lambda_{\epsilon} = 0.581 \times 10^{-10} \text{yr}^{-1}$, $\lambda_{\beta} = 4.962 \times 10 \text{yr}^{-1}$, $^{40}\text{K}/\text{K} = 1.167 \times 10^{-2} \text{atom\%}$, $^{40}\text{Ar}/^{36}\text{Ar} \text{ atmosphère} = 295.5$

Résultats de mesure des températures d'homogénéisation et de la Salinité des inclusions fluides dans les filons de quartz

Températures d'homogénéisation

	Minimum (°C)	Maximum (°C)	Moyenne (°C)	Déviat standard
SQ-2 MJNL-6 (110.90m)	203.0	302.0	243.8	20.3
SQ-6 MJNL-5 (96.40m)	281.0	419.0	334.8	31.9

Salinité (% en poids)

	Minimum (%)	Maximum (%)	Moyenne (%)
SQ-2 MJNL-6 (110.90m)	3.5	5.3	4.65

SIGNES MINERALOGIQUES

▬ Filon de quartz ✕ Gisement (Or)

N°	GISEMENT	N°	GISEMENT
①	Kala	⑧	Koukou Djongou
②	Mbanga	⑨	Maka
③	Kongo Mbanga	⑩	Libiri
④	Kongo Loude	⑪	Séfa Nangue
⑤	Touré	⑫	Kokoloukou
⑥	Tchalkan	⑬	Kokoloukou sud
⑦	Tiawa	⑭	Déba

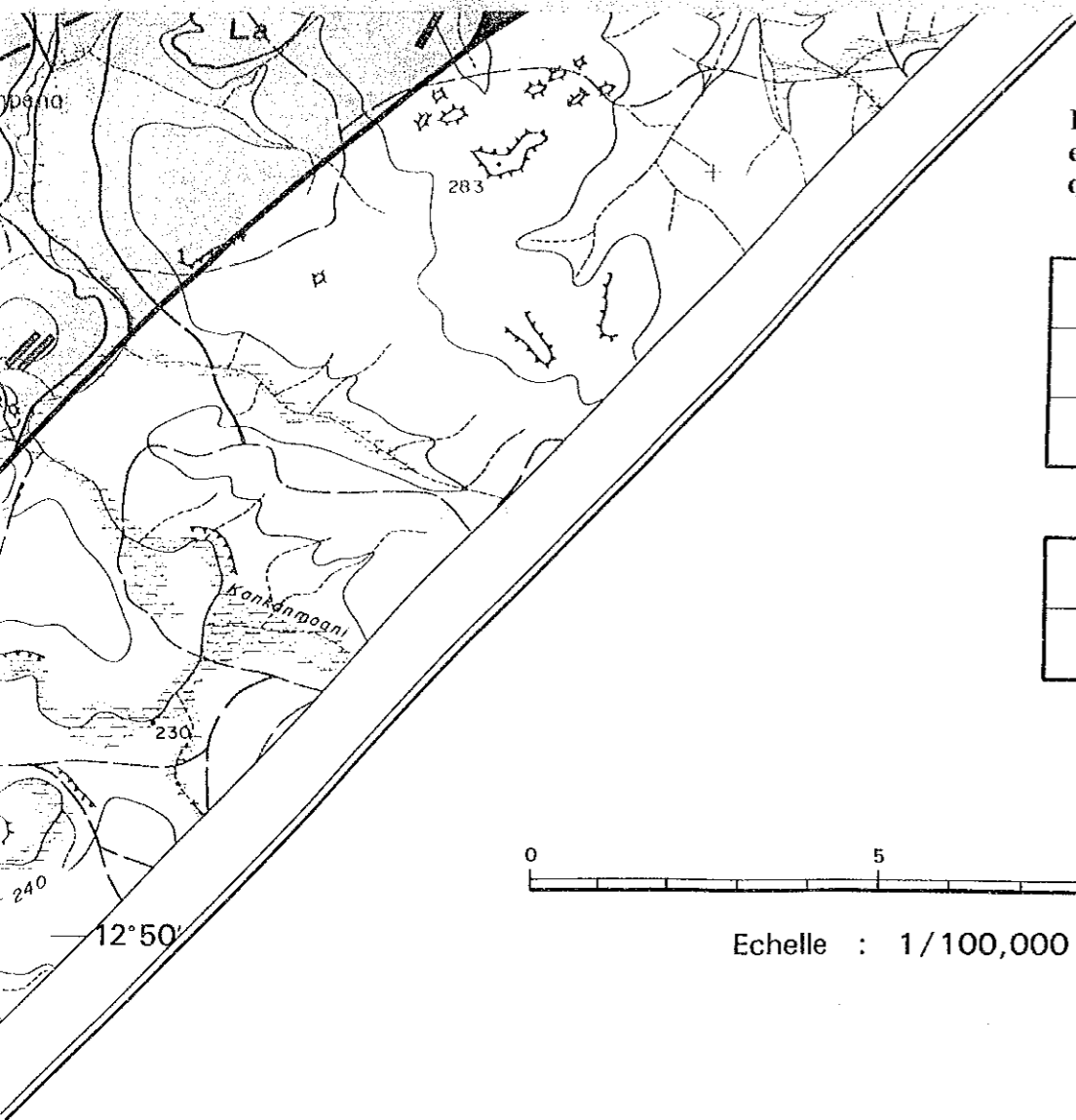
Liste de membres de l'équipe sur terrain

JICA — MMAJ ONAREM

Mr. Kiyoharu Nakashima Mr. Ibrahim Issaka

Geologie, géochimie Geologie, géochimie

Echelle : 1/100,000



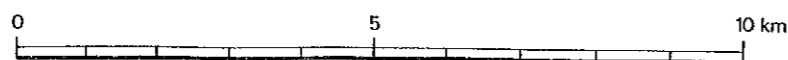
Résultats de mesure des températures d'homogénéisation et de la Salinité des inclusions fluides dans les filons de quartz

Températures d'homogénéisation

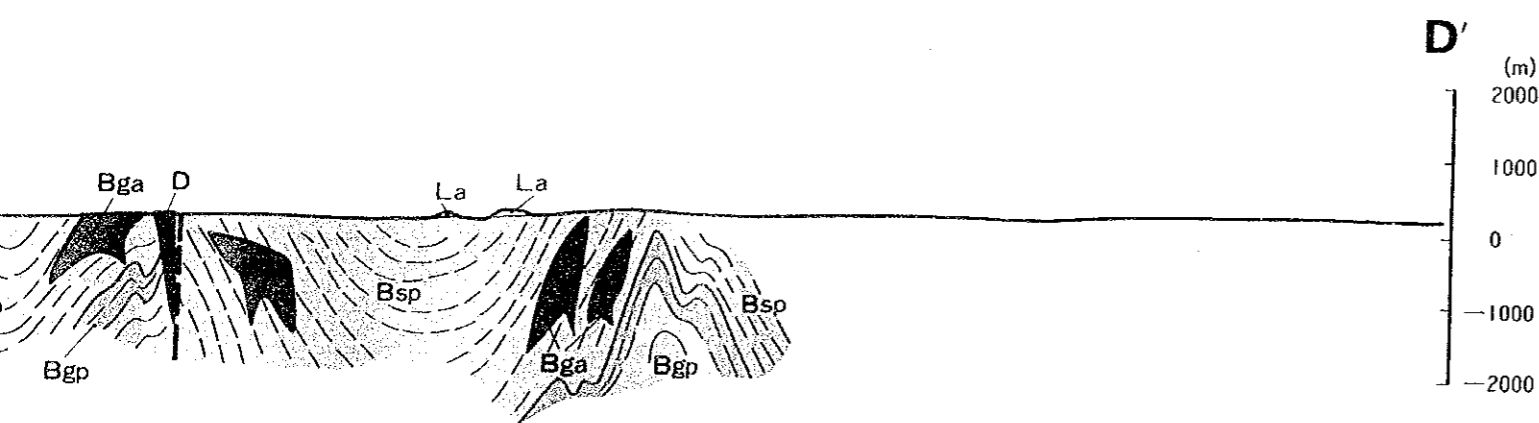
	Minimum (°C)	Maximum (°C)	Moyenne (°C)	Déviat. standard
SQ-2 MJNL-6 (110.90m)	203.0	302.0	243.8	20.3
SQ-6 MJNL-5 (96.40m)	281.0	419.0	334.8	31.9

Salinité (% en poids)

	Minimum (%)	Maximum (%)	Moyenne (%)
SQ-2 MJNL-6 (110.90m)	3.5	5.3	4.65



Echelle : 1/100,000



SIGNES MINERALOGIQUES

Filon de quartz Gisement (Or)

N°	GISEMENT	N°	GISEMENT
①	Kala	⑧	Koukou Djongou
②	Mbanga	⑨	Maka
③	Kongo Mbanga	⑩	Libiri
④	Kongo Loude	⑪	Séfa Nangue
⑤	Touré	⑫	Kokoloukou
⑥	Tchalkan	⑬	Kokoloukou sud
⑦	Tiawa	⑭	Déba

Liste de membres de l'équipe sur terrain

JICA - MMAJ

Mr. Kiyoharu Nakashima

Geologie, geochimie

Mr. Akira Satsuma
Mr. Norimasa Asami
Mr. Atsusi Takeyama
Mr. Jiro Natori
Mr. Mitsuru Suzuki
Mr. Hideo Suzuki (A)
Mr. Hideo Suzuki (B)
Mr. Takaaki Nagao
Mr. Norihiro Nagano

Geophysique

Mr. Akihiko Chiba
Mr. Mitsuru Katsuda
Mr. Masao Konno

Sondage

Mr. Yasunori Yoshioka
Mr. Shin-ichi Kudo
Mr. Masaaki Okadome
Mr. Masashi Hayakawa
Mr. Takeshi Konno

ONAREM

Mr. Ibrahim Issaka

Geologie, geochimie

Mr. Ari Cheriff Ari
Mr. Abdoukarim Boureima
Mr. Issoufou Sanda
Mr. Zakari Kimba
Mr. Amadou Issa
Mr. Manou Doutchi

Geophysique

Mr. Issaka Nomao
Mr. Idi Tambari

Sondage

Mr. Amidou Garba
Mr. Amadou Mohamed
Mr. Yero Amadou
Mr. Ibrahim Keita
Mr. Idrissa Bondiere
Mr. Bacharou Appahi

